

Поиск красных карликов среди рентгеновских объектов глубокого обзора экваториальной области неба по данным eROSITA

Алексей А. Шляпников

Абстракт

В работе представлено отождествление звёзд нижней части Главной последовательности среди объектов глубокого обзора экваториальной области неба, выполненного телескопом eROSITA на орбитальной обсерватории SRG. Из 27910 рентгеновских объектов 110, возможно, являются кандидатами на идентификацию с красными карликами. 12 звёзд ранее были классифицированы, как рентгеновские источники. В области идентификации двух звёзд попадают галактики. Несколько отождествлений содержат близко расположенные объекты. Список идентифицированных объектов, комментарии к нему и поисковые карты даны в приложениях.

Введение

Рентгеновский телескоп eROSITA (extended ROentgen Survey with an Imaging Telescope Array – телескоп для широкоугольного обзора в рентгеновском диапазоне) [1] на борту обсерватории Спектр-Рентген-Гамма (Spectrum-Roentgen-Gamma - SRG) [2] обладает значительным полем (~ 1 градус в диаметре) для регистрации неба в диапазоне энергий от 0,2 до 8,0 кэВ. Телескоп также может выполнять наблюдения больших участков неба. Максимальный поддерживаемый размер прямоугольников с равномерным сканированием области составляет 12,5 x 12,5 градуса.

Обсерватория SRG была успешно запущена в июле 2019 года. До начала обзора всего неба, для проверки всех различных возможностей приборов, в начале миссии был проведен ряд специальных наблюдений.

Исследование экваториальной области неба (eFEDS - eROSITA Final Equatorial DePTH Survey) стало самым длительным по времени наблюдением в период проверки возможностей приборов телескопа eROSITA. В целом было затрачено около 100 часов. Поле eFEDS имеет площадь примерно 140 град² и состоит из четырех отдельных прямоугольных областей сканирования по 35 град². Выбор площадки был обусловлен наличием значительного числа многоволновых наблюдений данной области неба [3].

Поиск красных карликов в каталоге eFEDS

По результатам глубокого обзора eFEDS было опубликовано два каталога рентгеновских источников: однозначно обнаруженные источники в диапазоне 0,2–2,3 кэВ и жесткие (2,3–5 кэВ) источники, наблюдавшиеся в многодиапазонном режиме [3]. В данной работе для идентификации объектов из нового Каталога звёзд с активностью солнечного типа CSAST [4] были выбраны 27910 рентгеновских источников с высокой степенью вероятности обнаружения, которые составляют основной каталог eFEDS [5].

Распределение на небесной сфере в проекции AITOFF звёзд из каталога CSAST и область объектов eFEDS продемонстрирована на рисунке 1. Каталог CSAST (версия 2.0 от 8 августа 2021 года) содержит 314618 объектов. Учитывая специфику CSAST, в него вошли звёзды из каталога GAIA DR2 [6], удовлетворяющие следующим требованиям:

$$T_{\star} < 7000^{\circ} \text{ K} \quad (1)$$

$$L_{\star} < 1.1 L_{\odot} \quad (2)$$

$$L_{\star} \geq 6.136^{-6} \times T_{\star} - 0.022 \quad (3)$$

То есть, эффективная температура звёзд $< 7000^{\circ} \text{ K}$, светимость < 1.1 светимости Солнца. Неравенство 3 отсекает из каталога GAIA белые карлики, расположенные в нижней левой части диаграммы Герцшпрунга-Рассела.

Дополнительно применялся критерий отбора по радиусу. Он должен был не превышать 1.1 радиуса Солнца.

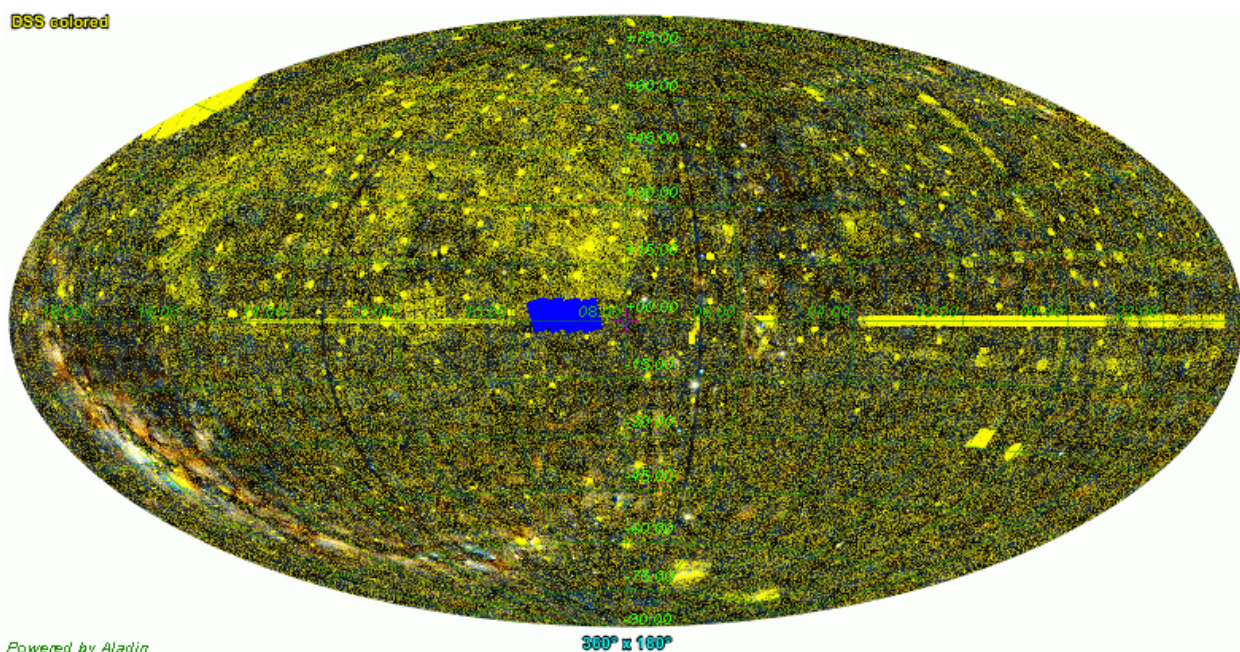


Рис. 1. Область eFEDS на фоне звёзд из каталога CSAST обозначена голубым цветом.

Более детальное распределение идентифицируемых объектов представлено на рисунке 2. На нём берюзовым цветом указаны объекты из каталога eFEDS, а желтыми маркерами обозначены звёзды из CSAST. Рисунок хорошо иллюстрирует четыре отдельные прямоугольные области сканирования eROSITA.

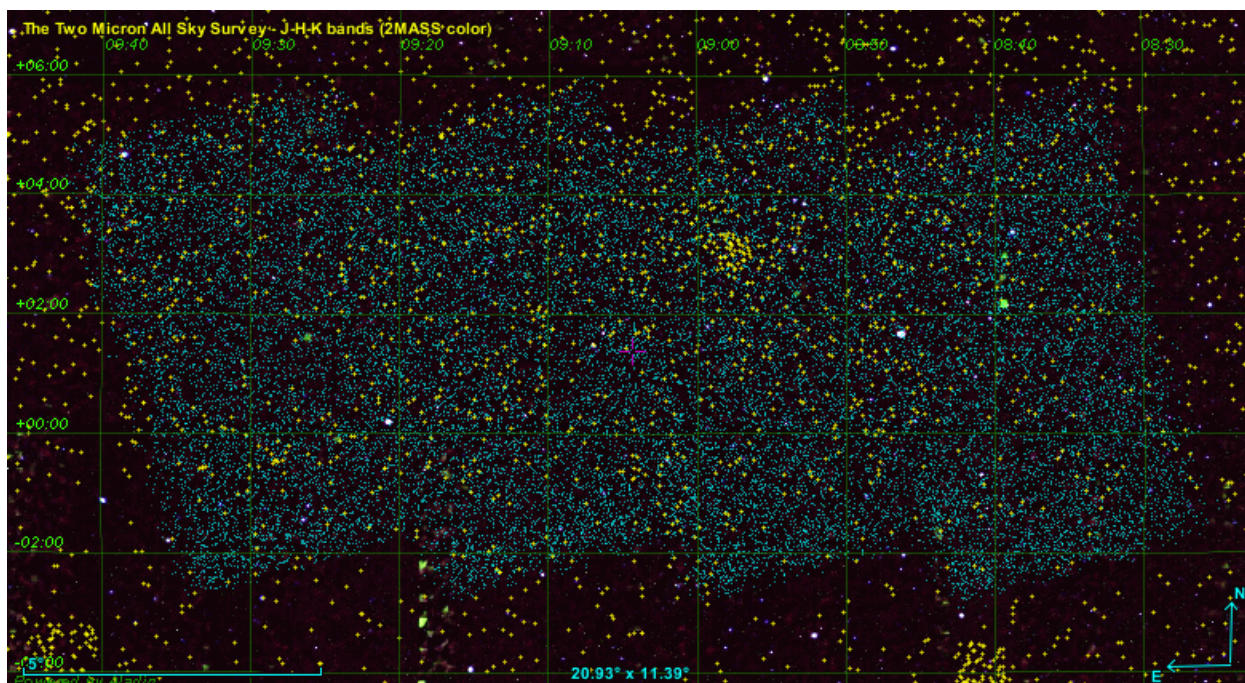


Рис. 2. Области eFEDS и звёзды из каталога CSAST (пояснения в тексте).

Для идентификации объектов из каталога eFEDS использовались откорректированные значения прямого восхождения и склонения объектов, а также комбинированная ошибка в определении координат. Рисунок 3 иллюстрирует гистограмму распределения числа

ошибок в определении координат от их радиуса в угловых секундах для всех объектов eFEDS.

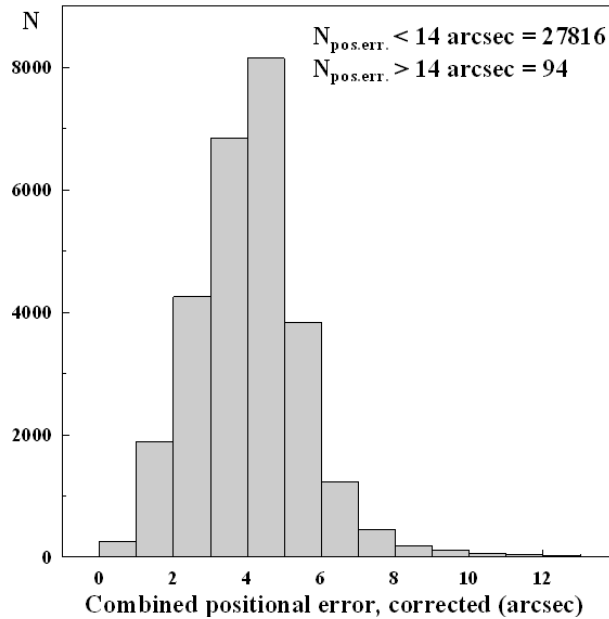


Рис. 3. Распределение числа ошибок в определении координат от их радиуса.

Учитывая, что средний радиус ошибок в определении координат eFEDS составляет 4.8 угловые секунды, поиск кандидатов на идентификацию производился в утроенном радиусе. На рисунках 4 и 5 показаны соответственно распределения: числа ошибок в определении координат для объектов – возможных кандидатов на отождествление с красными карликами и гистограмма числа объектов в зависимости от их расстояния до положения рентгеновского источника.

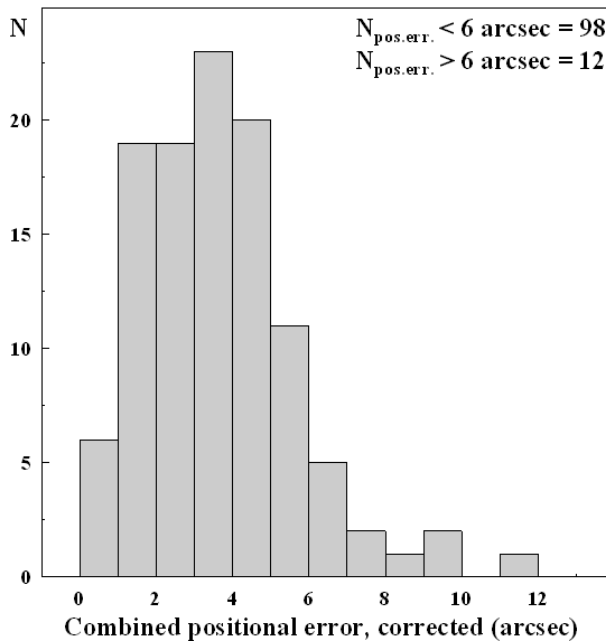


Рис. 4.

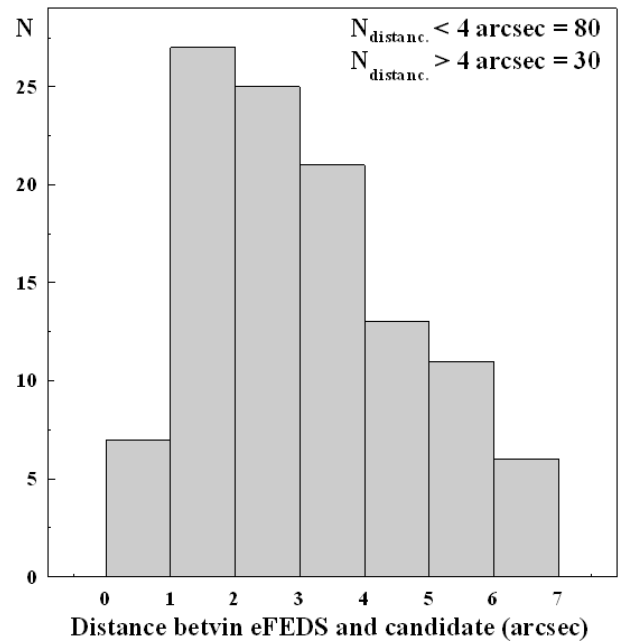


Рис. 5.

Рисунок 6 демонстрирует положение идентифицированных объектов на фоне распределения на небе рентгеновских источников из каталога eFEDS.

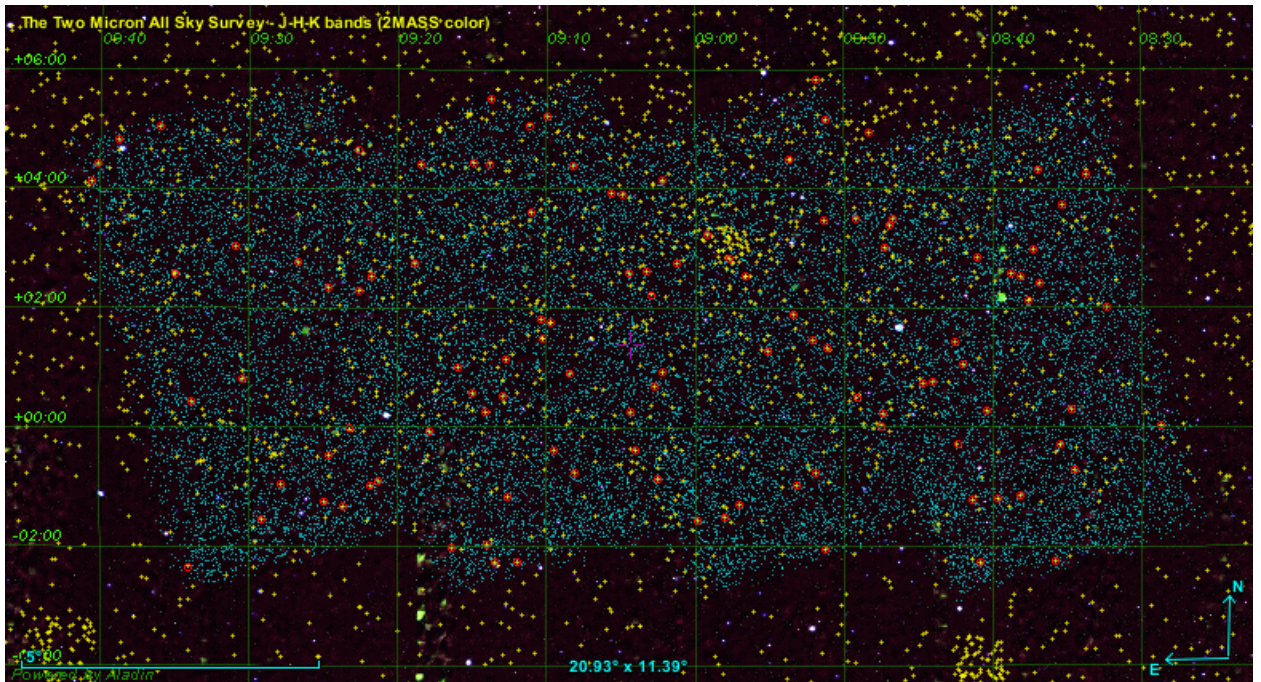


Рис. 6. Отождествлённые звёзды из каталога CSAST в областях eFEDS.

Анализ идентифицированных объектов

В таблице (Приложение 1) из 110 звёзд указаны две области, в которые попадают известные галактики: галактика Сейферта 1-го типа - SDSS J084818.23+045643.1 со звёздной величиной в полосе $G_{\text{GAIA}} = 20^{\text{m}}.306$ (рис. 7) и галактика SDSS J090807.97-004613.9 с редуцированной по данным GAIA звёздной величиной в полосе $V = 19^{\text{m}}.039$. Эта галактика находится на расстоянии 5 угловых секунд ниже и правее звезды (рис. 8).

Галактика SDSS J084818.23+045643.1 является рентгеновским источником 1RXS J084818.2+045709, и, очевидно, ей необходимо дать предпочтение при идентификации с объектом из каталога eFEDS. У галактики SDSS J090807.97-004613.9 ранее рентгеновское излучение не зафиксировано, но, учитывая её близость к положению объекта из eFEDS, возможно именно она является кандидатом на отождествление. Зелёные окружности на рисунках – область ошибок в определении координат по eFEDS, красная окружность – утроенный диаметр.

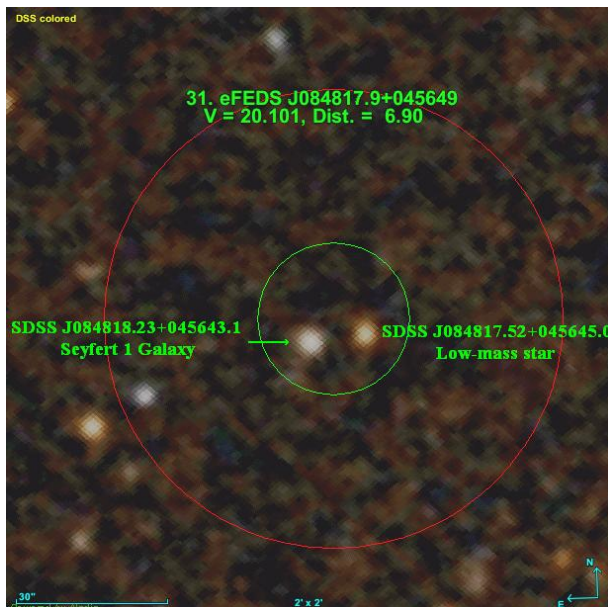


Рис. 7.

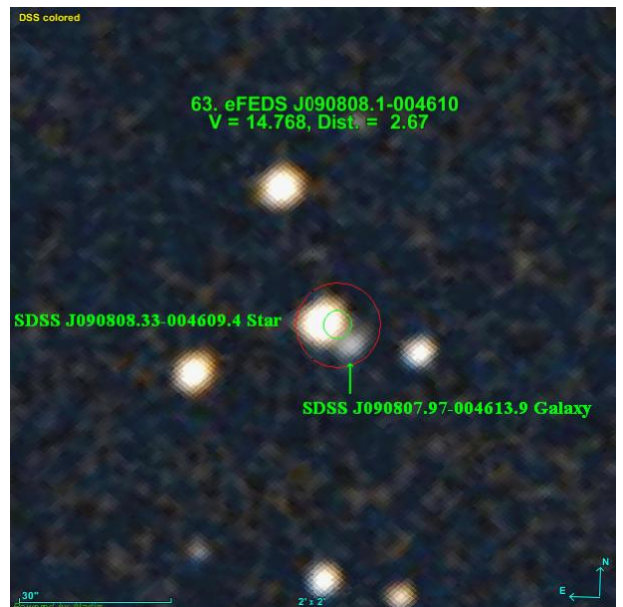


Рис. 8.

Отметим, также, что в девять областей локализации eFEDS попадает более одного объекта, а 12 звёзд ранее были классифицированы, как рентгеновские источники. Более подробно информация об объектах приведена в конце таблицы с идентификацией источников.

Заключение

Среди объектов глубокого обзора экваториальной области неба, выполненного телескопом eROSITA на обсерватории SRG, произведена идентификация звёзд, попадающих в 110 полей, ограниченных радиусом ошибок в определении рентгеновских координат. 12 звёзд ранее были классифицированы, как рентгеновские источники, что подтверждает правильность независимого отождествления. В областях идентификации двух звёзд были обнаружены галактики, одна из которых является известным рентгеновским объектом. Несколько отождествлений содержат близко расположенные объекты. В приложении 1 и 2 даны: список идентифицированных объектов с комментариями к нему и поисковые карты. Все области были проанализированы визуально.

Список объектов, ассоциированных с рентгеновскими источниками, зарегистрированными обсерваторией eROSITA, будет использован для анализа проявлений эруптивной активности звёзд по данным долговременных оптических наблюдений, выполняемых космическими и наземными средствами. А объекты, удовлетворяющие требованиям для включения в новый Каталог, будут присоединены к нему.

При выполнении работы активно использовались поддерживаемые Центром астрономических данных в Страсбурге приложения SIMBAD [7], VizieR [8] и Aladin [9], а также система астрофизических данных SAO/NASA ADS [10]. Автор признателен всем, кто обеспечивает их работу и выражает благодарность Российскому фонду фундаментальных исследований за частичную поддержку проведённых исследований за счёт грантов № 19-02-00191 и № 19-29-11027.

Литература

1. Predehl P., Andritschke R., Arefiev V. et al. 2021, A&A, 647, A1.
2. Sunyaev R., Arefiev V., Babyshkin V. et al. 2021, arXiv e-prints, arXiv:2104.13267.
3. Brunner H., Liu T., Lamer G. et al. 2021, arXiv e-prints, arXiv:2106.14517.
4. Гершберг Р.Е., Клиорин Н.И., Пустильник Л.А., Шляпников А.А. "Физика звёзд средних и малых масс с активностью солнечного типа" / М.: ФИЗМАТЛИТ, 2020. – 768 с. – ISBN 978-5-9221-1881-1. Приложение. Доступ к каталогу: <http://craocrimea.ru/~aas/CATALOGUES/CSAST/CSAST.html>
5. Доступ к каталогу eFEDS: <https://erosita.mpe.mpg.de/edr/eROSITAObservations/Catalogues/>
6. Gaia collaboration. Gaia data release 2 (Gaia DR2) // 2018A&A...616A...1G
7. Wenger et al. The SIMBAD astronomical database // A&AS, 2000, 143, 9.
8. Ochsenbein F., Bauer P., Marcout J. The VizieR database of astronomical catalogues // 2000A&AS..143...23O
9. Bonnarel F., Fernique P., Bienaymé O. The ALADIN interactive sky atlas. A reference tool for identification of astronomical sources // 2000A&AS..143...33B
10. SAO/NASA ADS. Доступ к ресурсу: <https://ui.adsabs.harvard.edu/about/>

Search for red dwarfs among X-ray objects of the deep survey of the equatorial region of sky using eROSITA data

Aleksey A. Shlyapnikov

The list of identification objects

Data description:

1. № - record number.
2. RAJ_Corr - Right ascension (J2000), corrected (deg).
3. DEJ_Corr - Declination (J2000), corrected (deg).
4. ErCor - Combined positional error, corrected (arcsec).
5. eFEDS_Name - Name from eFEDS catalogue.
6. RAJ - Right ascension (J2000), for probable candidate (deg).
7. DEJ - Declination (J2000), for probable candidate (deg).
8. Dist - Distance betvin eFEDS soureces and probable candidate (arcsec).
9. SIMBAD_Basic_Identification - SIMBAD basic identification.
10. Type - Object classification in SIMBAD.
11. V_mag - V magnitude from SIMBAD, or calculated from GAIA or SDSS.
12. SpTyp - spectral type from SIMBAD, SDSS or calculated from GAIA.
13. XF - detected X-ray flux.
14. Teff - Effective temperature (K).
15. Rsol - Radius in solars unit.
16. Lsol - Luminosity in solars unit.
17. Rotation - Rotation period from VSX (day).
18. Note - Comments.

№	RAJ_Corr	DEJ_Corr	ErCor	eFEDS_Name	RAJ	DEJ	Dist	SIMBAD_Basic_Identification	Type	V_mag	SpTyp	XF	Teff	Rsol	Lsol	Rotation	Note
1	2	3	4	5	6	7	8	9	10	11	12	13	14	15	16	17	18
1	127.19843	0.02398	1.70	eFEDS J082847.6+000126	127.19855	0.02426	0.95	StKM 1-703	Star	11.112	K5V		4669.20	0.67	0.190		
2	128.10217	2.00864	4.43	eFEDS J083224.5+020031	128.10194	2.01036	6.00	TYC214-113-1	PM*	11.221	K3V		4898.37	0.80	0.335		
3	128.43294	4.23203	2.16	eFEDS J083343.9+041355	128.43248	4.23275	2.47	TYC218-1167-1	Star	11.580	K3.5V		5100.33	0.57	0.181		
4	128.63041	-0.72618	0.98	eFEDS J083431.3-004334	128.63188	-0.72606	4.70	HD72760	PM*	7.288	K0V	X	5339.00	0.83	0.501		
5	128.70561	0.29243	6.36	eFEDS J083449.3+001733	128.70598	0.29422	6.42	TYC210-1860-1	Star	12.284	G9V		5454.00	0.89	0.636		1
6	128.84225	3.72338	3.97	eFEDS J083522.1+034324	128.84286	3.72380	2.77	TYC214-1435-1	Star	11.490	K0V		5329.23	0.81	0.481		2
7	128.87554	-0.28369	4.71	eFEDS J083530.1-001701	128.87637	-0.28256	4.72	TYC 4862-1374-1	Star	11.728	K1V		5210.53	0.93	0.571		
8	128.95150	-2.25107	2.43	eFEDS J083548.4-021504	128.95247	-2.25191	3.85	Gaia DR2 3072788382888799232	Star	13.165	M1.5V		3848.00	0.59	0.070		
9	129.21451	2.41350	1.44	eFEDS J083651.5+022449	129.21483	2.41368	1.26	TYC214-788-1	Star	11.649	K3V		4836.33	0.78	0.297		
10	129.23753	4.30749	3.50	eFEDS J083657.0+041827	129.23711	4.30720	1.81	TYC218-1127-1	Star	11.564	K2V		5114.83	0.76	0.360		
11	129.33933	2.98113	0.89	eFEDS J083721.4+025852	129.33940	2.98119	0.46	TYC214-1872-1	Star	11.312	K5V	X	4859.67	0.58	0.166	0.690566	
12	129.42353	2.11404	4.45	eFEDS J083741.6+020651	129.42375	2.11400	0.89	TYC215-961-1	PM*	9.779	G4V		5654.33	0.94	0.821		
13	129.53792	2.51159	1.61	eFEDS J083809.1+023042	129.53847	2.51214	2.68	BD+032024	PM*	9.635	G9V		5405.00	0.84	0.541		
14	129.55411	-1.15606	2.51	eFEDS J083813.0-010922	129.55521	-1.15555	3.76	TYC 4863-571-1	PM*	10.933	K2.5V		4951.92	0.80	0.347		
15	129.70090	2.58047	4.94	eFEDS J083848.2+023450	129.70172	2.57920	5.73	Gaia DR2 3079158506583841024	Star	12.816	K2V		5033.00	0.86	0.426		
16	129.92364	-1.19269	5.18	eFEDS J083941.7-011134	129.92474	-1.19283	3.29	TYC 4863-1195-1	PM*	11.438	K4.5V		4644.50	0.68	0.193		
17	130.11169	0.27347	4.84	eFEDS J084026.8+001624	130.11285	0.27315	3.99	TYC211-253-1	PM*	11.556	K2V		5046.62	0.77	0.342		
18	130.21775	-2.25922	3.97	eFEDS J084052.3-021533	130.21886	-2.25984	3.70	TYC 4867-1258-1	Star	11.532	K1.5V		5161.80	0.81	0.416		3

1	2	3	4	5	6	7	8	9	10	11	12	13	14	15	16	17	18
19	130.27402	2.85666	2.62	eFEDS J084105.8+025124	130.27444	2.85717	2.28	TYC215-1164-1	PM*	10.317	K3V		4898.03	0.81	0.341		
20	130.36591	-1.23443	2.63	eFEDS J084127.8-011404	130.36639	-1.23407	1.67	UCAC4 444-047525	PM*	14.402	M0.5V		3837.00	0.65	0.083		
21	130.51008	1.05766	4.24	eFEDS J084202.4+010328	130.51021	1.05732	1.40	TYC211-1314-1	Star	11.167	G8V		5459.00	1.03	0.847		
22	130.60779	-0.29843	6.96	eFEDS J084225.9-001754	130.60979	-0.29900	6.99	TYC 4863-498-1	Star	12.349	K0V		5424.00	0.90	0.630		
23	130.64573	1.41727	2.82	eFEDS J084235.0+012502	130.64516	1.41761	2.42	TYC211-689-1	Star	10.537	K2.5V		4978.76	1.01	0.570		
24	131.02537	0.76238	5.90	eFEDS J084406.1+004545	131.02563	0.76407	6.00	TYC211-796-1	Star	11.694	K1V		5176.50	0.86	0.475		4
25	131.17473	0.73792	0.94	eFEDS J084441.9+004417	131.17555	0.73776	2.74	TYC211-1502-1	PM*	10.259	K4.5V	X	4808.92	0.90	0.390	35.170158	
26	131.67697	3.49646	4.03	eFEDS J084642.5+032947	131.67702	3.49627	1.15	TYC216-895-1	PM*	10.610	K2V		5031.60	0.98	0.557		
27	131.73112	3.39503	2.29	eFEDS J084655.5+032342	131.73207	3.39571	4.24	TYC216-1010-1	Star	11.813	K1.5V		5051.33	0.72	0.306		
28	131.82035	3.01396	3.45	eFEDS J084716.9+030050	131.82184	3.01439	5.69	LSPM J0847+0300	l-m*	0.000			-	-	-		5
29	131.86254	0.23254	1.61	eFEDS J084727.0+001357	131.86316	0.23260	1.84	TYC212-1457-1	PM*	11.336	K2V		5040.50	0.82	0.392		
30	131.89303	0.00000	2.28	eFEDS J084734.3+000135	131.89319	0.02709	2.27	BD+002393B	Star	9.012	G8V		5576.00	1.02	0.899		
31	132.07471	4.94681	15.11	eFEDS J084817.9+045649	132.07298	4.94583	6.90	SDSS J084817.52+045645.0	l-m	20.101	M2.5V		-	-	-		5, 6
32	132.29659	0.49321	1.52	eFEDS J084911.2+002936	132.29761	0.49346	3.42	BD+012178	PM*	9.951	K1.5V	X	5100.00	0.79	0.377		
33	132.30193	3.48500	1.47	eFEDS J084912.5+032906	132.30220	3.48476	1.77	HD75302	PM*	7.435	G6V	X	5699.33	0.94	0.842		
34	132.79900	5.16322	1.71	eFEDS J085111.8+050948	132.79921	5.16309	1.72	BD+052067	PM*	9.148	G8V		5530.00	0.94	0.752		
35	132.80496	1.33454	1.42	eFEDS J085113.2+012004	132.80530	1.33481	1.32	HD75639	PM*	9.011	K2V		5024.10	0.71	0.293		
36	132.81335	-2.06289	8.08	eFEDS J085115.2-020346	132.81340	-2.06288	0.74	TYC 4868-1117-1	Star	11.792	K6.5V		4185.00	0.78	0.169		7
37	132.83294	3.46059	3.66	eFEDS J085119.9+032738	132.83348	3.46194	5.01	TYC216-289-1	PM*	10.669	K2.5V		4915.29	0.78	0.324		
38	132.97546	5.81898	7.19	eFEDS J085154.1+054908	132.97534	5.81820	3.38	SDSS J085154.07+054905.4	Star	14.956	K0V		5422.67	0.80	0.500		
39	132.98434	-0.77111	1.49	eFEDS J085156.2-004616	132.98486	-0.77056	2.34	TYC 4864-260-1	Star	11.871	G7V		5803.67	0.79	0.641		
40	133.04400	1.45513	4.22	eFEDS J085210.6+012718	133.04358	1.45643	4.77	TYC212-329-1	Star	11.388	K3V		4860.35	0.90	0.407		8
41	133.29281	-0.98661	4.00	eFEDS J085310.3-005912	133.29318	-0.98700	1.52	TYC 4865-809-1	Star	11.510	G4V		5752.00	0.98	0.938		
42	133.34866	1.88110	7.45	eFEDS J085323.7+015252	133.34972	1.88173	4.29	SDSS J085323.93+015254.3	l-m*	20.122	M5.5V		-	-	-		5
43	133.42820	4.48503	4.10	eFEDS J085342.8+042906	133.42946	4.48423	6.05	SDSS J085343.07+042903.2	Star	18.155	M5.5V		4067.17	0.00	0.000		
44	133.79566	1.27338	2.80	eFEDS J085511.0+011624	133.79553	1.27204	5.06	TYC213-1211-1	PM*	11.930	K1.5V		5164.00	0.87	0.486		9
45	134.14459	2.52806	3.57	eFEDS J085634.7+023141	134.14420	2.52770	2.05	2MASS J08563459+0231397	Star	12.187	K3.5V		4811.28	1.03	0.507		
46	134.27526	-1.30452	9.11	eFEDS J085706.1-011816	134.27431	-1.30338	5.87	TYC 4865-550-1	PM*	12.013	G9V		5446.33	0.98	0.755		
47	134.43835	2.82549	5.23	eFEDS J085745.2+024932	134.43692	2.82546	5.00	TYC217-1083-1	Star	11.300	G0V		5897.50	0.96	1.000		
48	134.51207	-1.52615	1.91	eFEDS J085802.9-013134	134.51193	-1.52601	1.42	TYC 4865-710-1	Star	11.484	K0.5V		5254.58	1.01	0.703		
49	134.79389	3.22182	1.55	eFEDS J085910.5+031319	134.79434	3.22111	3.44	2MASS J08591064+0313160	PM*	13.188	M0V	X	3958.67	0.98	0.214		
50	134.95820	-1.57913	6.47	eFEDS J085950.0-013445	134.95921	-1.58060	5.93	BD-012173B	PM*	10.252	K2V		5057.43	0.76	0.338		
51	135.30278	2.74584	3.75	eFEDS J090112.7+024445	135.30299	2.74522	2.70	HD77213B	PM*	9.397	G7V		5628.00	1.01	0.931		
52	135.53896	4.12879	2.94	eFEDS J090209.4+040744	135.53957	4.12857	2.90	SDSS J090209.49+040742.8	l-m*	17.771	M4.5V		4613.21	0.00	0.000		5, 10
53	135.54426	0.92304	3.35	eFEDS J090210.6+005523	135.54445	0.92246	2.28	TYC226-1775-1	Star	11.253	G4V		5709.81	0.95	0.871		
54	135.63181	-0.87958	2.31	eFEDS J090231.6-005246	135.63165	-0.87926	1.69	TYC 4878-1191-1	Star	11.460	K3.5V		5033.25	0.61	0.218		
55	135.69856	0.67308	2.44	eFEDS J090247.7+004023	135.69833	0.67338	1.49	TYC226-2364-1	Star	11.503	G4V		5732.00	1.01	1.100		
56	135.73150	2.22290	3.60	eFEDS J090255.6+021322	135.73109	2.22425	4.82	TYC226-1529-1	Star	11.609	G9V		5540.00	0.90	0.691		
57	135.82111	2.61683	2.77	eFEDS J090317.1+023701	135.82127	2.61664	1.17	CCDM J09033+0237B	PM*	12.263	K6.5V		4433.50	0.60	0.124		
58	136.01421	-0.38688	5.21	eFEDS J090403.4-002313	136.01466	-0.38630	2.34	TYC 4878-293-1	Star	11.944	G9V		5413.25	0.86	0.574		
59	136.09356	0.26729	3.23	eFEDS J090422.5+001602	136.09473	0.26750	3.88	SDSS J090422.74+001603.0	l-m*	0.000			-	-	-		5
60	136.12252	2.58694	5.57	eFEDS J090429.4+023513	136.12323	2.58631	3.69	SDSS J090429.58+023510.7	l-m*	20.220	M5.5V		-	-	-		5

1	2	3	4	5	6	7	8	9	10	11	12	13	14	15	16	17	18
61	136.23266	3.88549	1.05	eFEDS J090455.8+035308	136.23282	3.88534	1.34	TYC229-1396-1	Star	11.312	G9V	X	5409.50	0.89	0.607		
62	136.41202	3.92028	4.57	eFEDS J090538.9+035513	136.41132	3.92068	2.36	TYC229-1438-1	PM*	11.341	K1.5V		5166.00	0.81	0.424		
*63	137.03382	-0.76932	2.84	eFEDS J090808.1-004610	137.03473	-0.76928	2.67	SDSS J090808.33-004609.4	Star	14.768	K4.5V		4946.75	0.86	0.397		11
64	137.06602	4.37278	3.03	eFEDS J090815.8+042222	137.06659	4.37303	2.58	TYC229-247-1	Star	11.746	G9V		5545.90	0.86	0.623		
65	137.11799	0.90175	4.51	eFEDS J090828.3+005406	137.11894	0.90186	3.18	StKM 1-750	PM*	10.735	K5.5V		4447.00	0.69	0.169		
66	137.37474	-0.39895	4.70	eFEDS J090929.9-002356	137.37569	-0.39843	3.41	HD78663	PM*	8.601	K0V		5395.75	0.73	0.409		
67	137.41923	1.74823	1.77	eFEDS J090940.6+014454	137.41872	1.74885	2.77	2MASS J09094049+0144559	Star	14.862	M3V	X	3965.05	0.51	0.058		
68	137.47465	5.20332	1.30	eFEDS J090953.9+051212	137.47551	5.20349	3.76	HD78727	PM*	8.334	K3V		4876.11	0.82	0.344		
69	137.55231	1.49411	1.95	eFEDS J091012.6+012939	137.55133	1.49432	3.70	BD+022151	PM*	10.199	K2V		5106.00	0.81	0.403		
70	137.59826	1.81027	4.74	eFEDS J091023.6+014837	137.59747	1.81066	3.12	TYC227-1263-1	Star	12.268	G7V		5729.96	0.95	0.871		
71	137.74183	3.60319	1.95	eFEDS J091058.0+033611	137.74239	3.60361	2.59	TYC230-1211-1	Star	10.846	G9V		5527.00	0.95	0.766		
72	137.79145	5.06317	2.15	eFEDS J091109.9+050347	137.79158	5.06390	2.38	TYC233-1643-1	PM*	10.505	K1V		5197.95	0.80	0.419		
73	137.98746	-2.27653	6.15	eFEDS J091157.0-021636	137.98781	-2.27575	2.97	TYC 4883-689-1	Star	11.121	G9V		5371.00	0.87	0.562		
74	138.14529	-1.15867	3.50	eFEDS J091234.9-010931	138.14607	-1.15885	2.21	TYC 4879-879-1	Star	11.560	K2V		4997.12	0.77	0.334		
75	138.16902	1.13897	3.59	eFEDS J091240.6+010820	138.17036	1.13868	4.77	TYC227-448-1	PM*	11.351	K3V		4860.13	0.72	0.261		
76	138.24373	0.51509	4.17	eFEDS J091258.5+003054	138.24356	0.51560	1.98	TYC227-1961-1	Star	11.221	K1.5V		5169.24	0.78	0.391		
77	138.37700	-2.26637	1.83	eFEDS J091330.5-021559	138.37761	-2.26621	1.42	TYC 4883-646-1	Star	11.488	G7V		5500.86	1.03	0.882		
78	138.42875	5.51785	2.17	eFEDS J091342.9+053104	138.42888	5.51817	1.36	TYC233-922-1	Star	11.697	K2V		5086.76	0.85	0.432		
79	138.44682	4.41977	1.82	eFEDS J091347.2+042511	138.44586	4.42085	4.51	HD79375	PM*	8.839	G9V		5456.00	0.84	0.562		
80	138.51276	-1.96814	5.13	eFEDS J091403.1-015805	138.51317	-1.96867	1.91	UCAC3 177-111583	Star	11.895	K6V		4325.72	0.79	0.196		
81	138.53781	0.25636	4.00	eFEDS J091409.1+001523	138.53806	0.25621	0.80	G 114-50	PM*	9.740	K1.5V		5087.13	0.85	0.441		
82	138.72288	4.44338	0.81	eFEDS J091453.5+042636	138.72354	4.44284	3.75	HD79555	SB*	7.961	K5V	X	4861.00	0.69	0.238		
83	138.73773	0.58091	4.00	eFEDS J091457.1+003451	138.73668	0.58016	4.98	TYC227-1052-1	Star	11.544	K2.5V		4981.67	0.82	0.375		
84	138.99508	0.99016	9.70	eFEDS J091558.8+005925	138.99557	0.98990	1.88	TYC227-1250-1	Star	11.757	K2V		5082.63	1.07	0.682		
85	139.08505	-2.03021	3.11	eFEDS J091620.4-020149	139.08685	-2.03000	5.66	TYC 4884-117-1	Star	11.469	G9V		5540.00	0.82	0.573		
86	139.47407	-0.06767	3.10	eFEDS J091753.8-000404	139.47310	-0.06844	4.85	TYC 4880-182-1	Star	11.964	K1V		5267.00	0.90	0.558		12
87	139.59769	4.40708	4.78	eFEDS J091823.4+042425	139.59695	4.40799	3.55	BD+052155	Star	10.978	G8V		5756.25	0.96	0.912		
88	139.71186	2.75076	2.38	eFEDS J091850.8+024503	139.71198	2.75086	0.58	StKM 1-766	Pec*	11.719	K7V		4193.92	0.88	0.217		
89	140.33438	-0.89878	3.33	eFEDS J092120.3-005356	140.33369	-0.89854	3.25	TYC 4880-129-1	Star	10.279	G4V		5740.05	0.96	0.900		
90	140.42737	2.51755	0.96	eFEDS J092142.6+023103	140.42783	2.51782	1.89	TYC231-1587-1	RoV*	11.381	K0V	X	5382.25	0.97	0.707	0.53298	13
91	140.46699	-0.99475	4.79	eFEDS J092152.1-005941	140.46779	-0.99317	6.13	TYC 4880-510-1	Star	11.955	G7V		5762.00	0.93	0.855		14
92	140.63685	2.28481	3.37	eFEDS J092232.8+021705	140.63707	2.28455	1.45	BD+022191	Star	10.673	G4V		5819.12	0.96	0.946		
93	140.66924	4.63607	2.50	eFEDS J092240.6+043810	140.67017	4.63599	3.94	TYC231-751-1	Star	10.768	G4V		5564.00	1.07	0.983		
94	140.79596	-0.03069	6.11	eFEDS J092311.0-000150	140.79576	-0.03115	2.10	SDSS J092310.98-000152.0	l-m*	21.701	M6.5V		-	-	-		5
95	140.91793	-1.33366	5.26	eFEDS J092340.3-012001	140.91832	-1.33399	1.33	TYC 4881-1044-1	PM*	11.609	K2V		5095.29	0.77	0.363		
96	141.14889	-0.47679	0.99	eFEDS J092435.7-002836	141.14922	-0.47717	1.51	HD81266	PM*	9.400	G4V	X	5817.67	1.02	1.081		
97	141.16123	2.34784	3.39	eFEDS J092438.7+022052	141.16040	2.34798	2.96	2MASS J09243849+0220526	Star	14.695	K2.5V	X	4965.00	0.95	0.489		
98	141.22633	-1.25672	4.47	eFEDS J092454.3-011524	141.22743	-1.25624	3.67	TYC 4881-943-1	PM*	11.799	G7V		5891.45	0.98	1.048		
99	141.67616	2.77034	5.84	eFEDS J092642.3+024613	141.67560	2.77053	1.91	TYC231-1177-1	Star	12.281	K3V		4916.66	0.71	0.268		
100	141.96313	-0.96712	5.93	eFEDS J092751.2-005802	141.96477	-0.96728	5.27	TYC 4881-1006-1	Star	11.356	G9V		5422.16	0.85	0.565		
101	142.27322	-1.54818	4.45	eFEDS J092905.6-013253	142.27399	-1.54886	3.12	BD-002202	PM*	10.715	G5V		5669.83	0.97	0.883		
102	142.60145	0.81437	3.45	eFEDS J093024.3+004852	142.60139	0.81520	2.89	TYC235-455-1	Star	10.961	K2V		4982.94	0.70	0.275		

1	2	3	4	5	6	7	8	9	10	11	12	13	14	15	16	17	18
103	142.71303	3.03842	11.91	eFEDS J093051.1+030218	142.71223	3.03732	5.05	LP547-74	PM*	11.052	K4V		4814.42	0.66	0.212		
104	143.46284	0.44298	4.18	eFEDS J093351.1+002635	143.46304	0.44302	0.38	BD+012323	PM*	10.654	G7V		5547.25	0.98	0.815		
105	143.50388	-2.34120	4.98	eFEDS J093400.9-022028	143.50464	-2.34011	4.41	TYC 4894-2501-1	Star	11.153	K2V		4917.87	0.75	0.299		
106	143.73632	2.57566	2.46	eFEDS J093456.7+023432	143.73572	2.57609	2.40	TYC238-487-1	Star	10.935	G8V		5444.33	0.96	0.733		
107	143.99680	5.02381	5.61	eFEDS J093559.2+050126	143.99635	5.02401	1.01	BD+052203	PM*	10.423	K1.5V		5104.23	0.76	0.356		
108	144.69487	4.80672	5.56	eFEDS J093846.8+044824	144.69571	4.80749	4.27	TYC238-1001-1	Star	11.221	G7V		5598.95	0.93	0.768		
109	145.04514	4.40373	3.34	eFEDS J094010.8+042413	145.04672	4.40333	6.43	TYC239-494-1	Star	12.207	K2V		5020.78	0.75	0.322		
110	145.14855	4.12192	1.89	eFEDS J094035.7+040719	145.14870	4.12182	1.23	TYC239-2160-1	Star	12.262	K4V		5183.50	1.10	0.780		

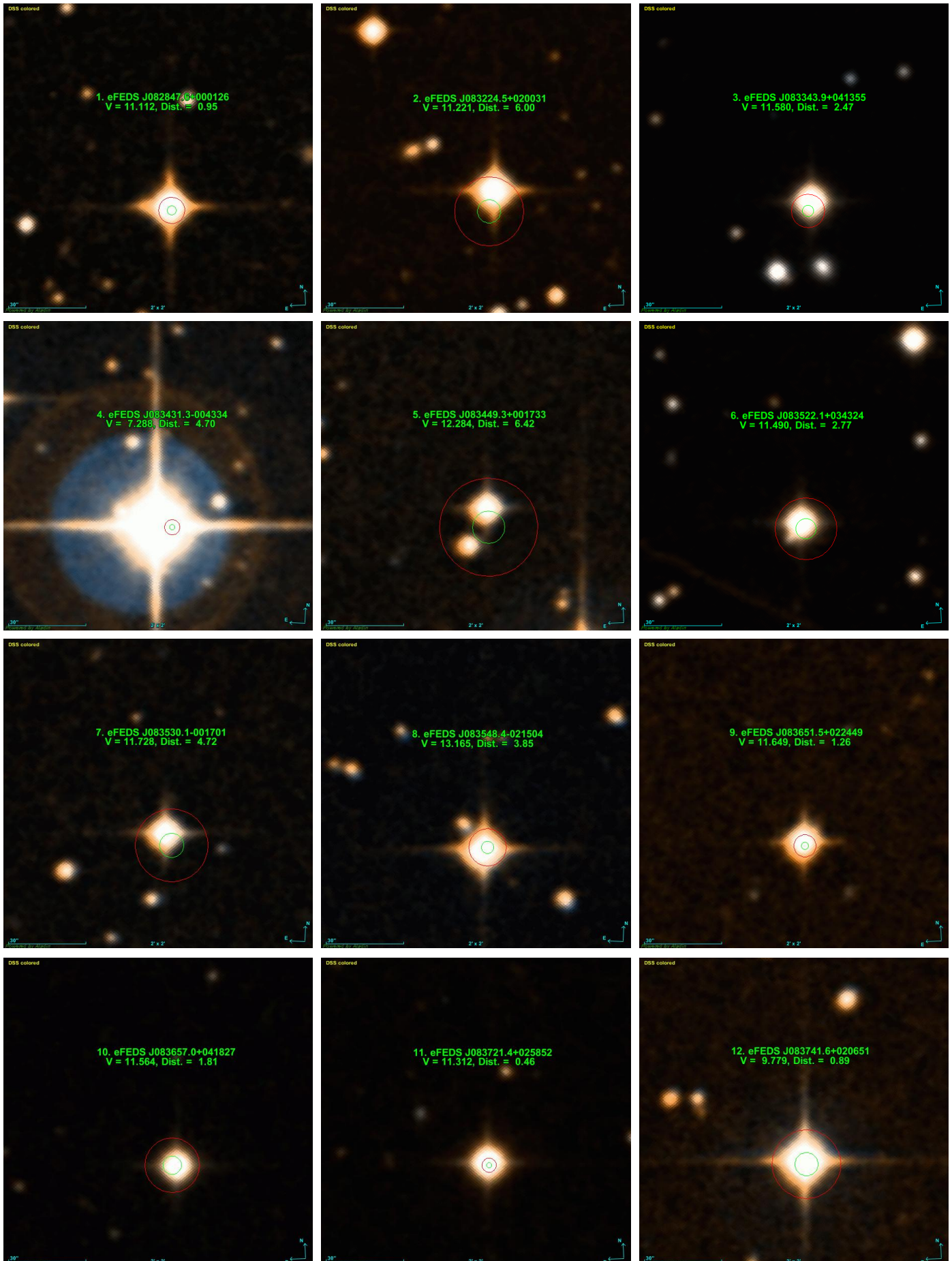
Note:

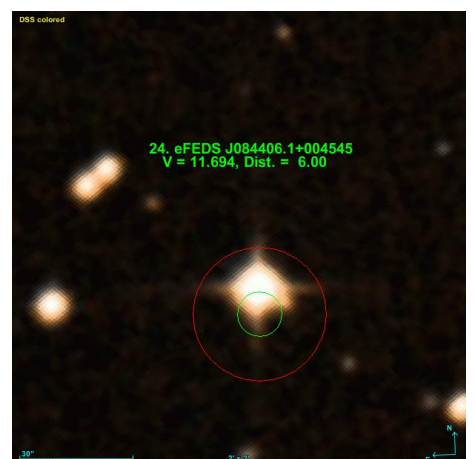
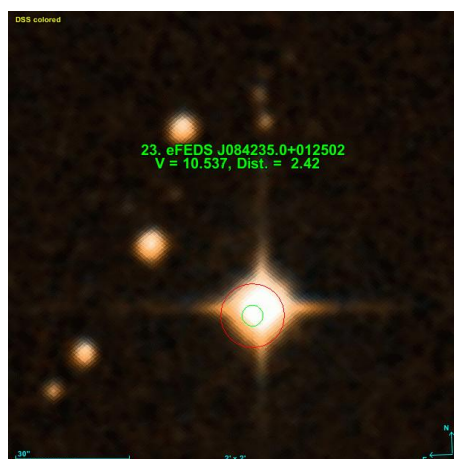
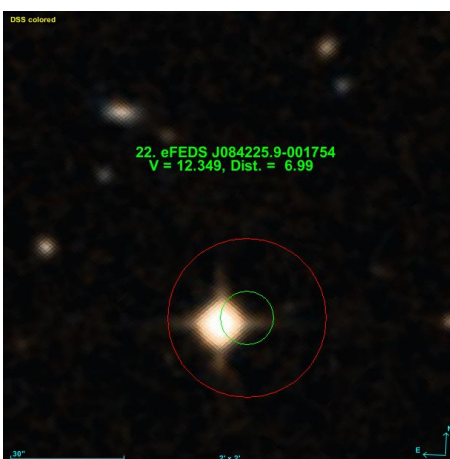
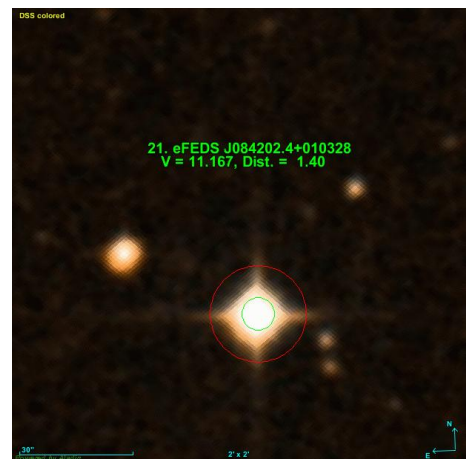
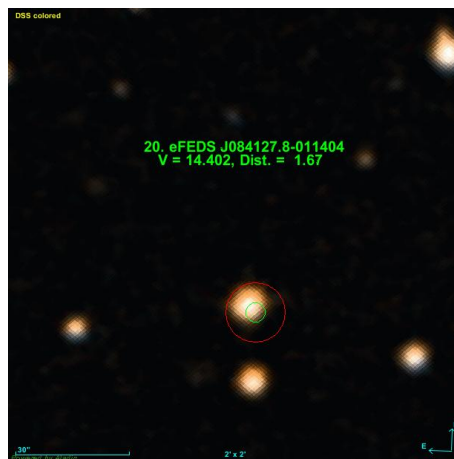
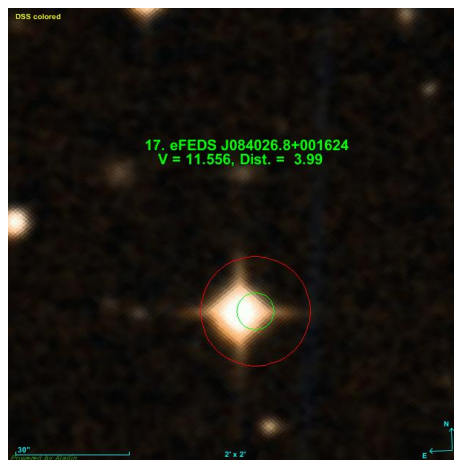
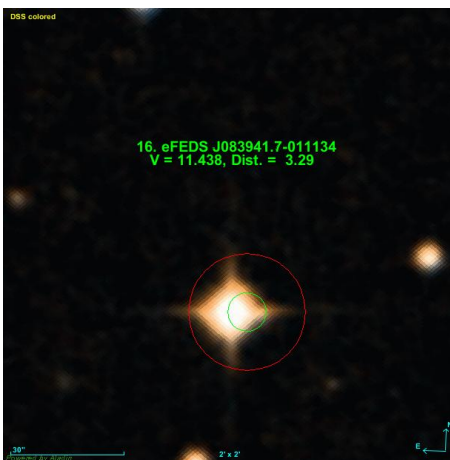
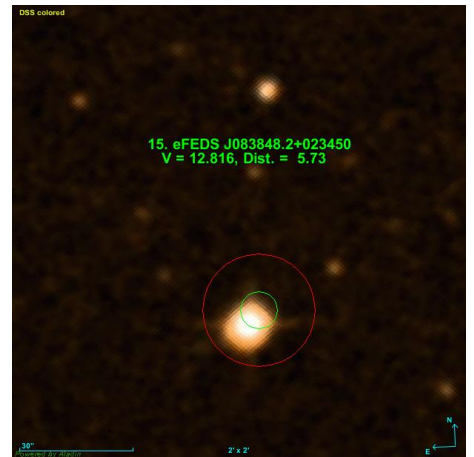
- The * marker next to the record number. Object is probably not a valid identification with red dwarf.

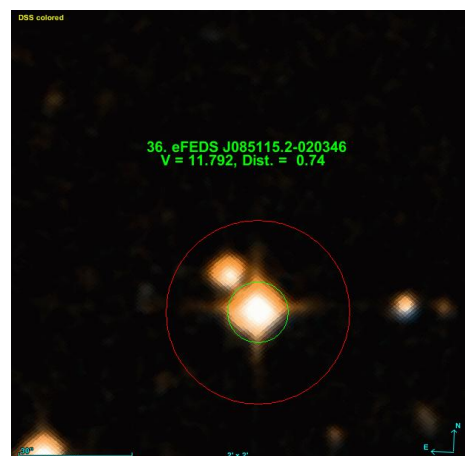
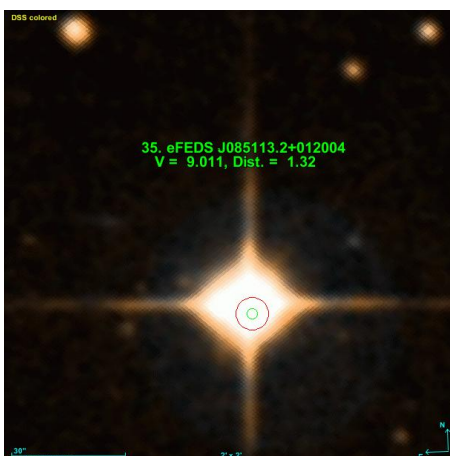
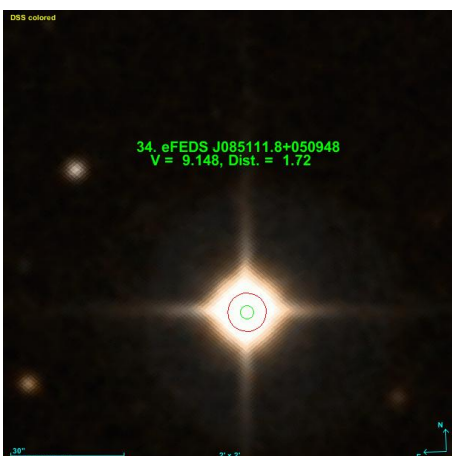
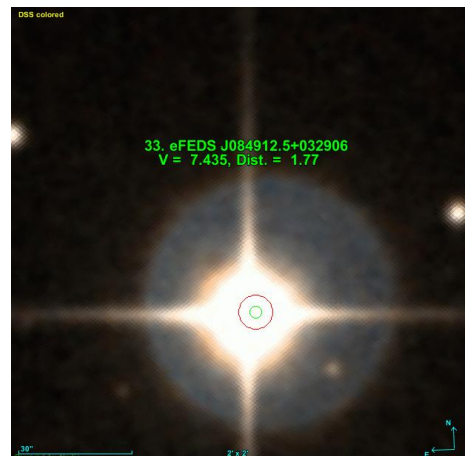
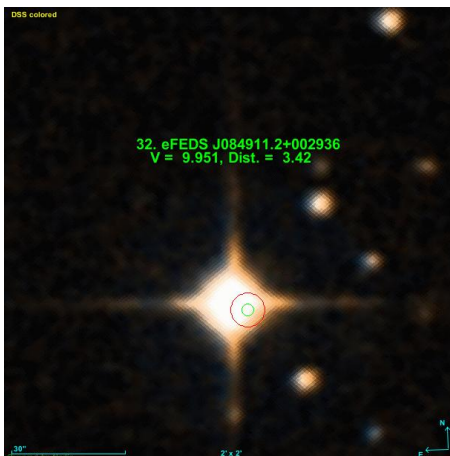
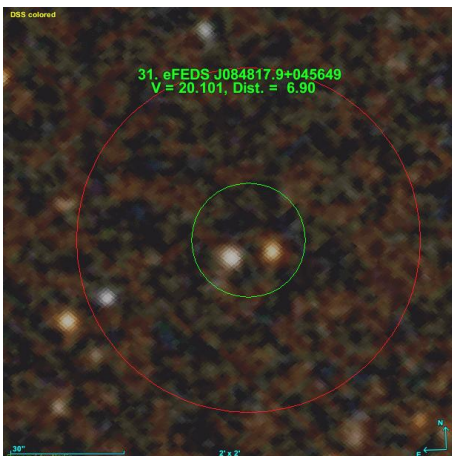
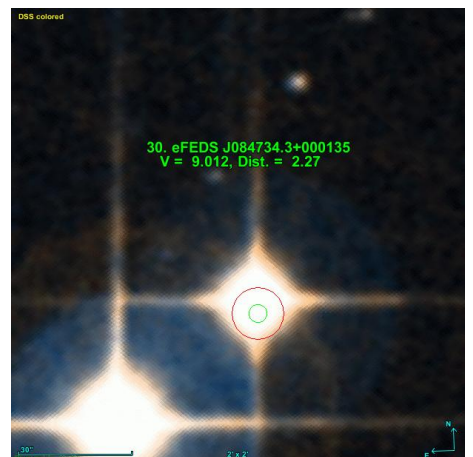
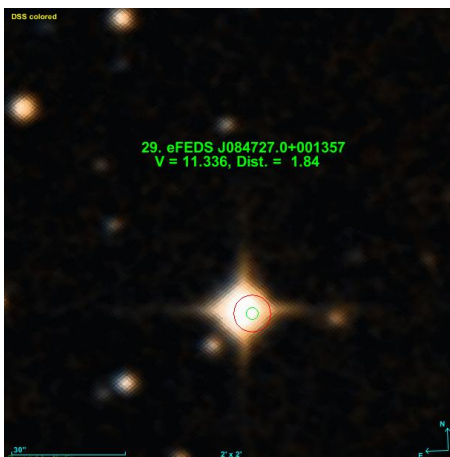
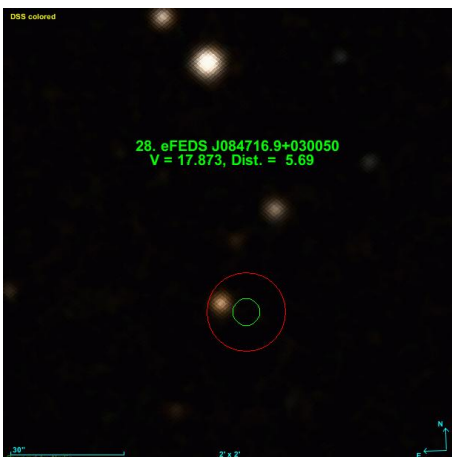
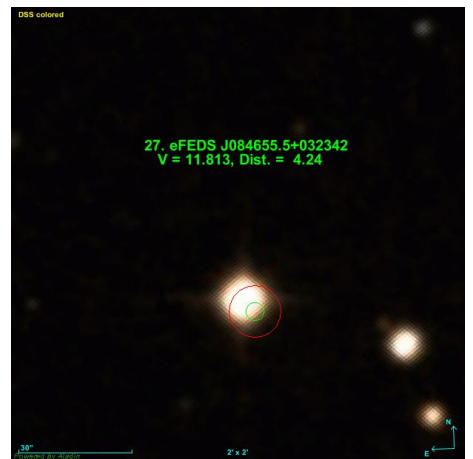
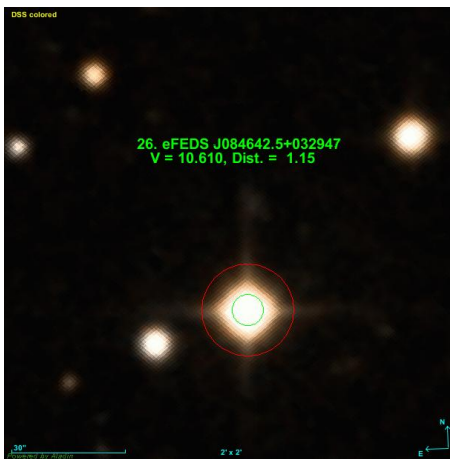
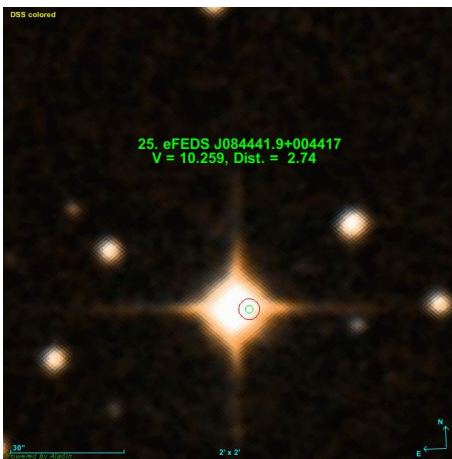
- Two stars in the field: TYC 210-1860-1 and BD+00 2334 (V=9.45, Sp=K0).
- Faint star near: Gaia DR2 3080242208438978688 (G_mag=18.058).
- Two faint star near: Gaia DR1: Source ID 3072407707052266752 (top right, G_mag=16.220) and Source ID 3072407707054922112 (below a bright star, G_mag=19.879).
- Faint star near. Below the bright star on the right (Gaia DR1: Source ID 3075322168782736384, G_mag=16.838).
- l-m* - low mass star (low-mass*).
- Two faint objects in error box: low mass star (SDSS J084817.52+045645.0, G_mag=19.211) and Seyfert 1 Galaxy (SDSS J084818.23+045643.1, G_mag=20.306) - probable identification.
- Peculiar star near (UCAC4 440-047757, G_mag=13.839).
- Object below the bright star (Gaia DR1: Source ID 3075652606386315520, G_mag=18.090).
- Two bright stars in error box: TYC213-1211-1 and Gaia DR2 source ID 576837717289109248 (G_mag=10.593, Teff=5666.60, Rsol=1.18, Lsol=1.297).
- Close pair of stars: SDSS J090209.49+040742.8 and Gaia DR2 source ID 578617478723879424 (V_mag=17.853, Sp=4.5V, Teff=4305.50).
- The faint galaxy near (SDSS J090807.97-004613.9, V_mag=19.039). Below the bright star on the right (distance ~ 5 arcsec).
- Two stars in the field: TYC 4880-182-1 and Gaia DR2 source ID 3842362856369154048 (G_mag=12.866, Teff=4789.52, Rsol=0.70, Lsol=0.233).
- RoV* - rotation variable (RotV*).
- Faint star near. Below the bright star on the right (Gaia DR2: Source ID 3839195777550937984, G_mag=18.560).

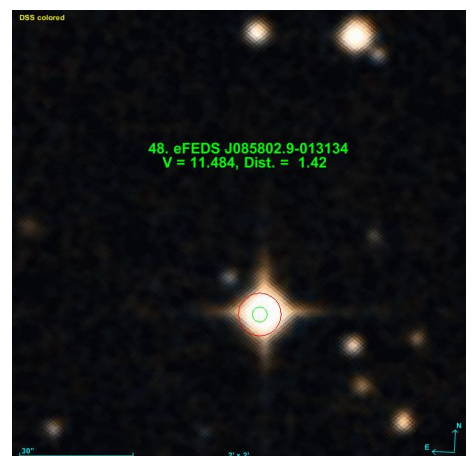
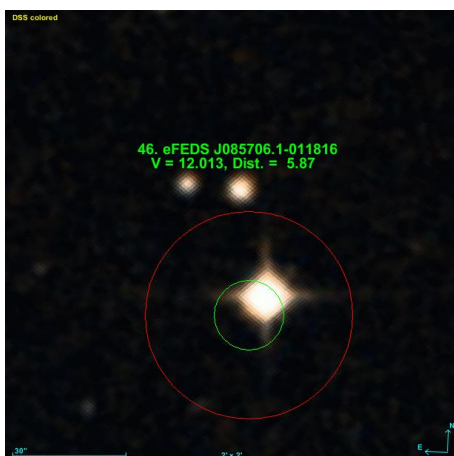
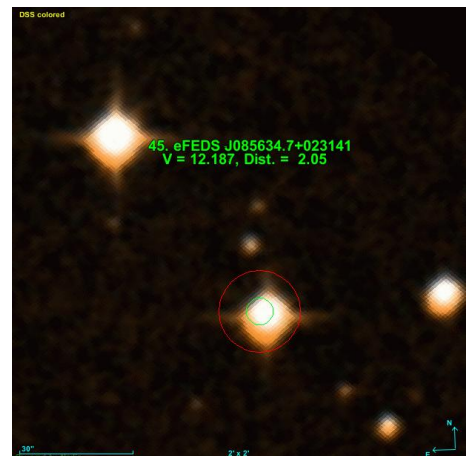
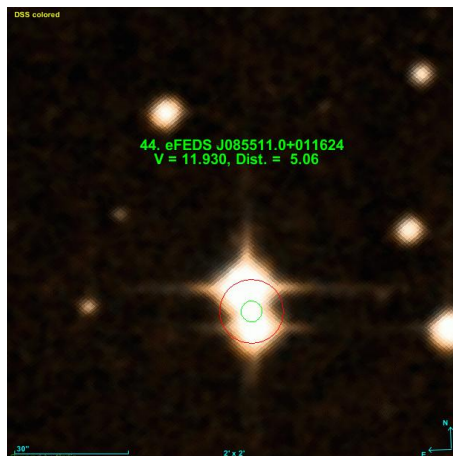
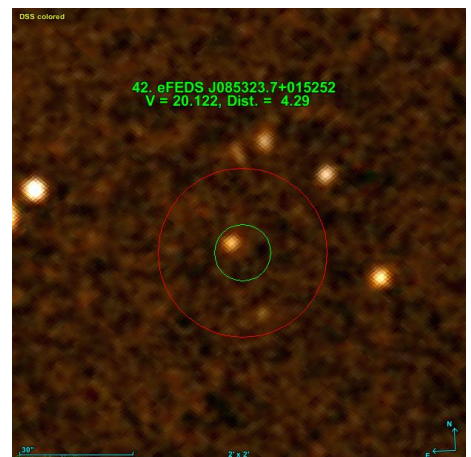
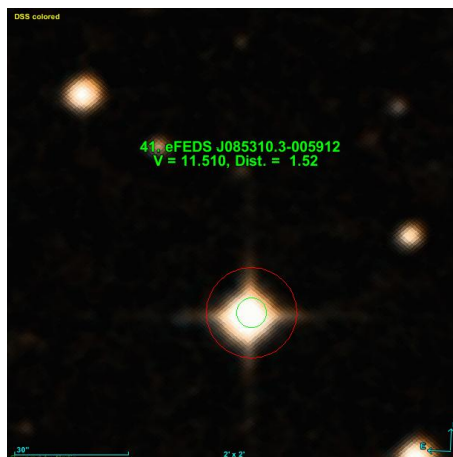
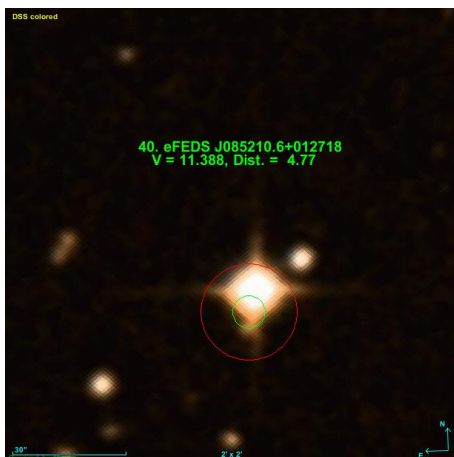
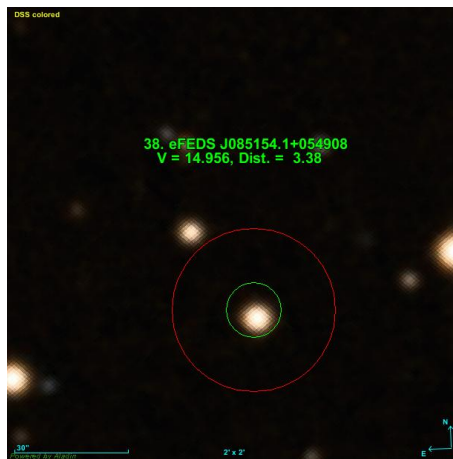
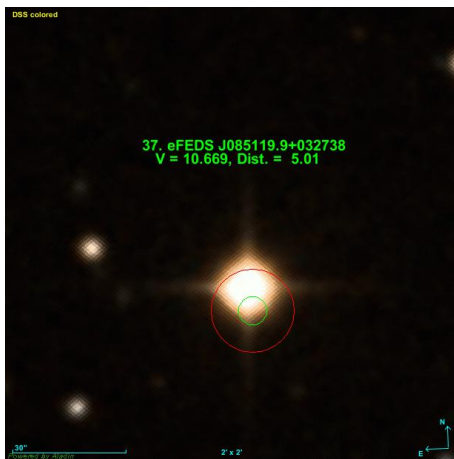
Search for red dwarfs among X-ray objects of the deep survey of the equatorial region of sky using eROSITA data
Aleksey A. Shlyapnikov

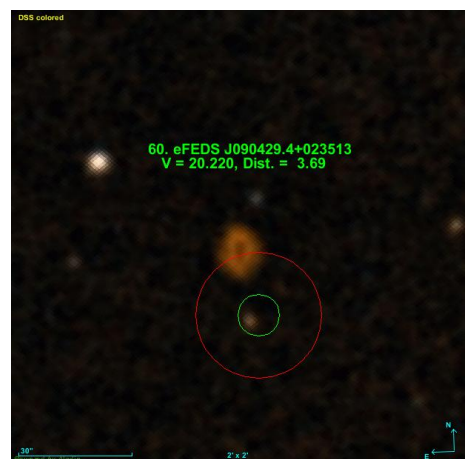
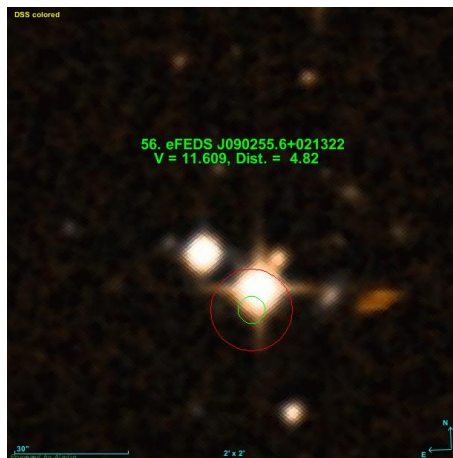
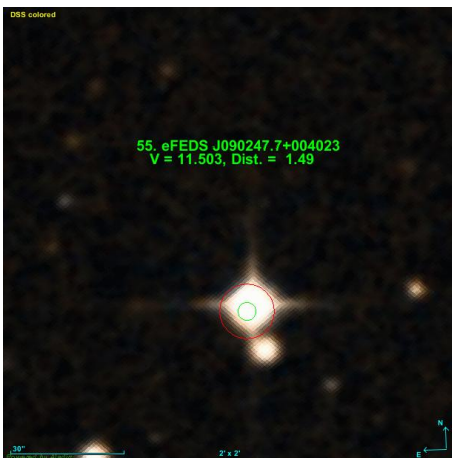
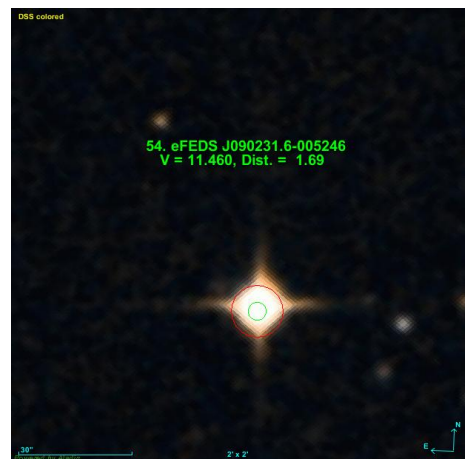
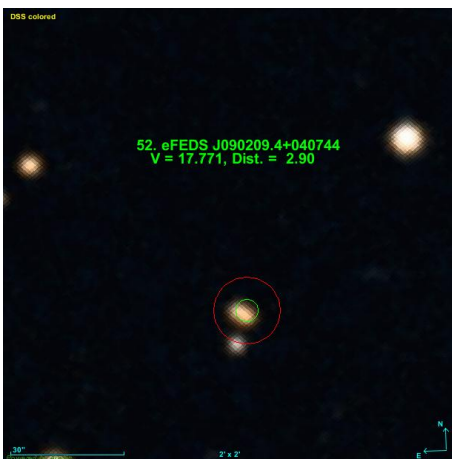
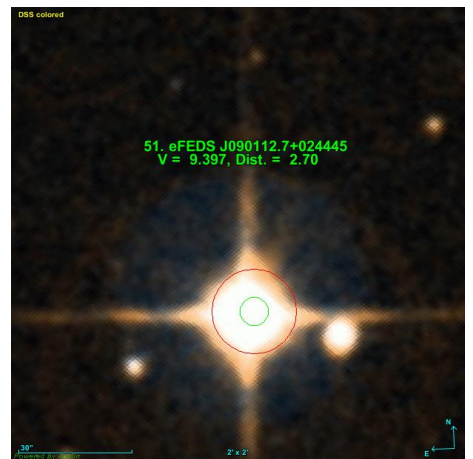
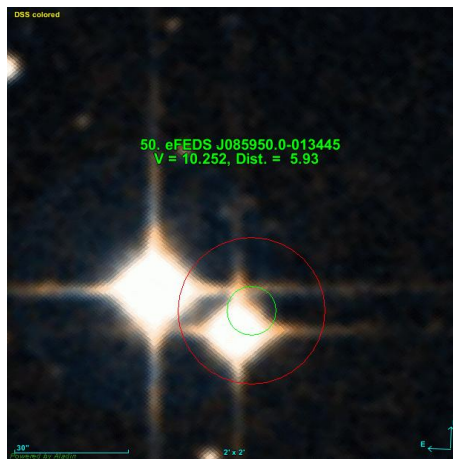
The identification charts

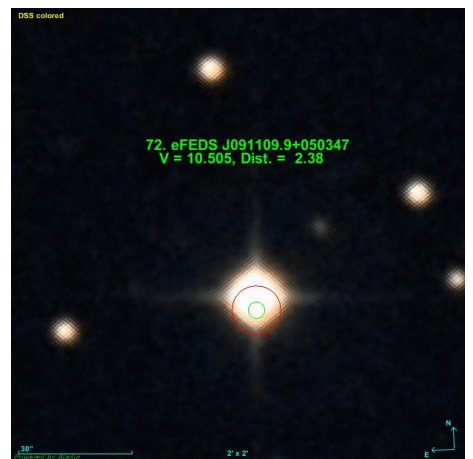
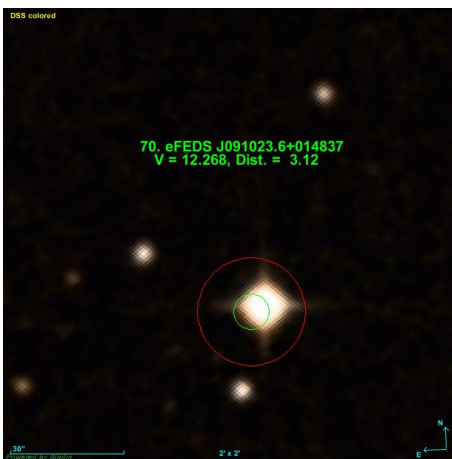
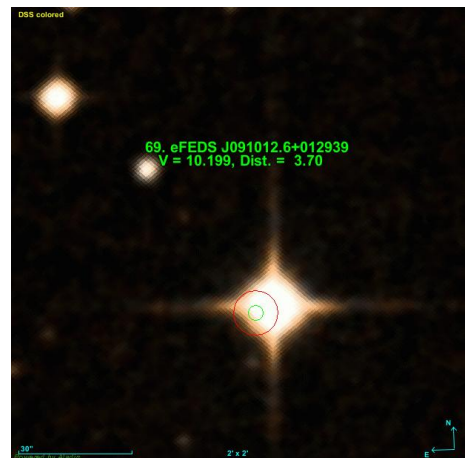
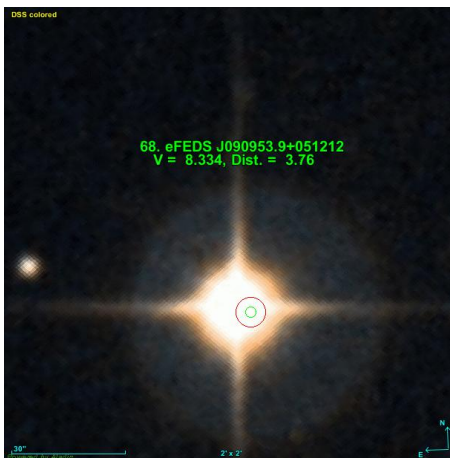
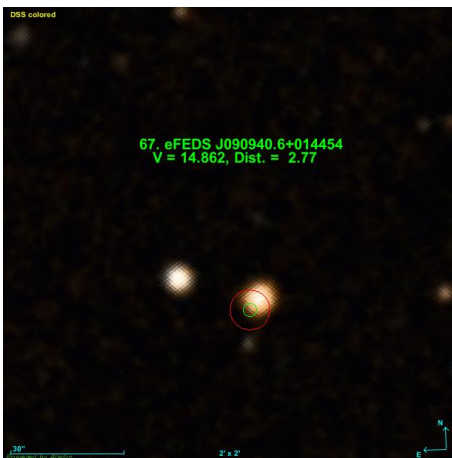
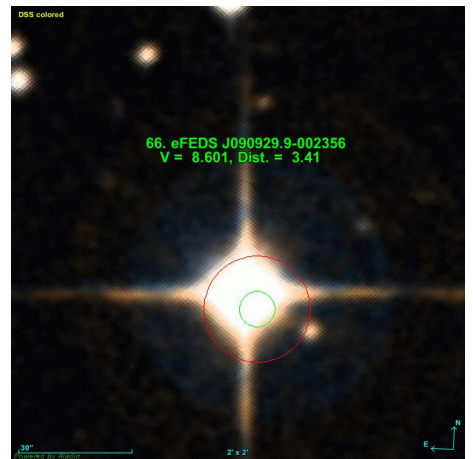
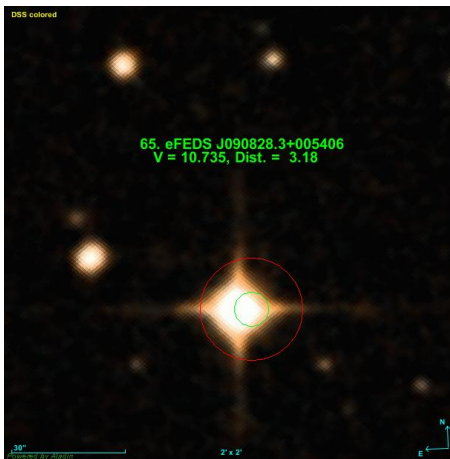
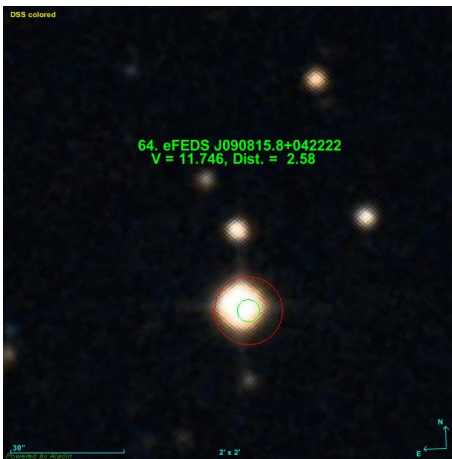
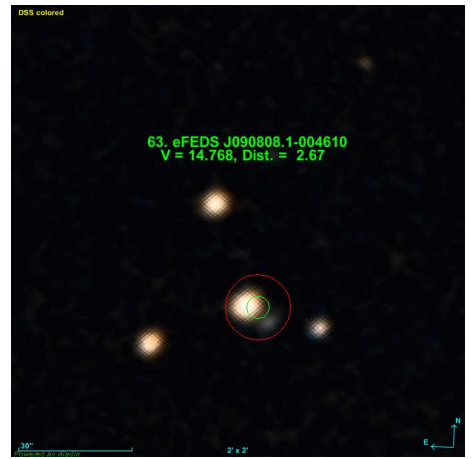


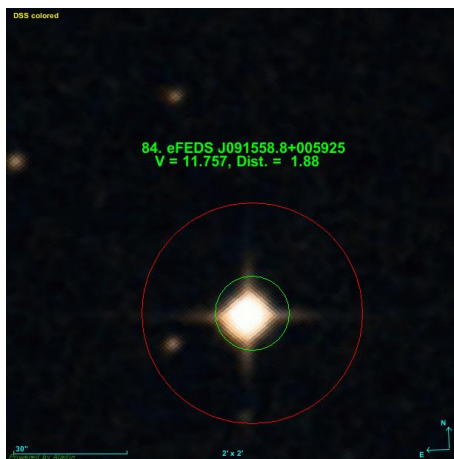
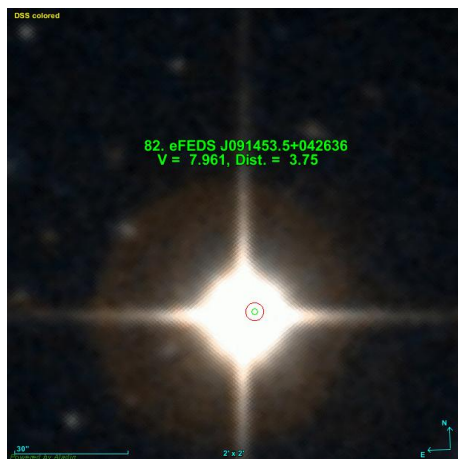
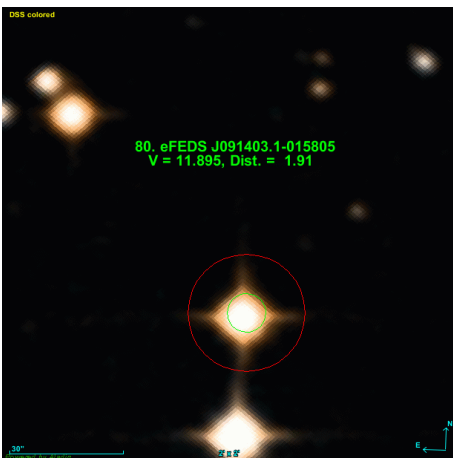
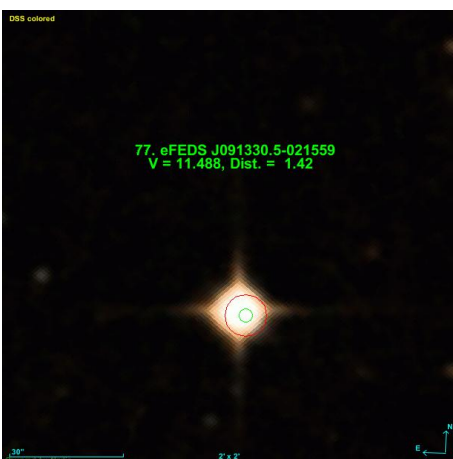
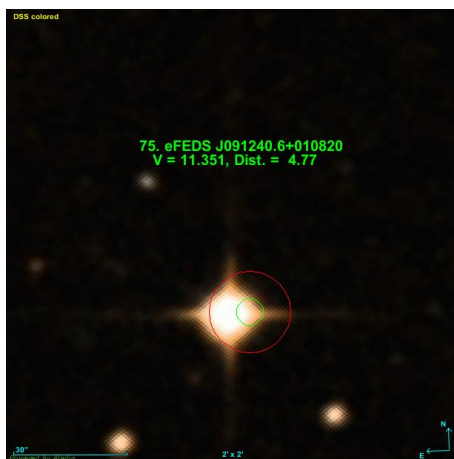
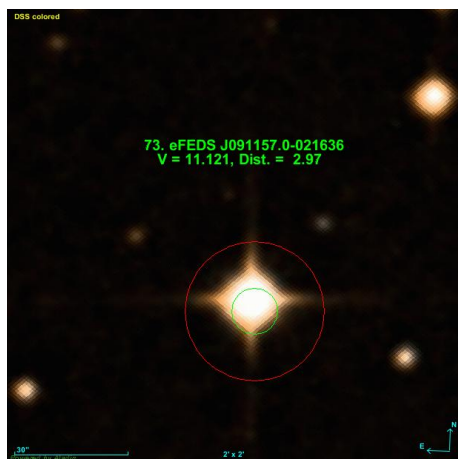


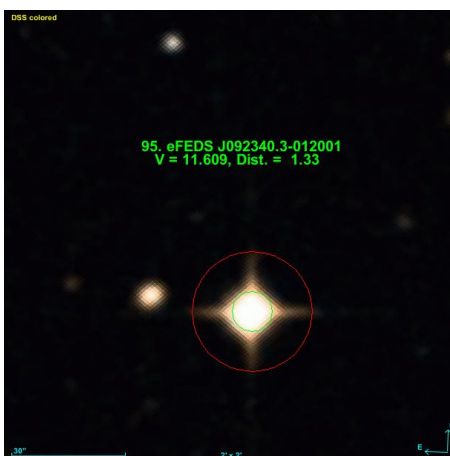
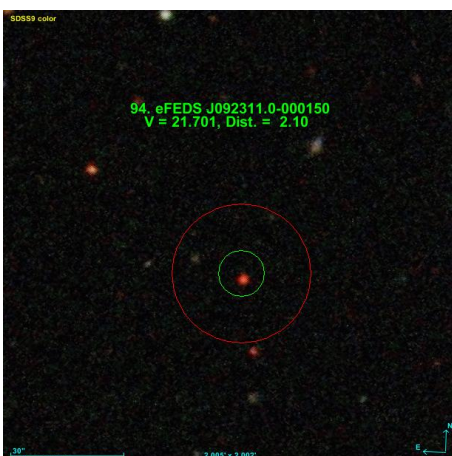
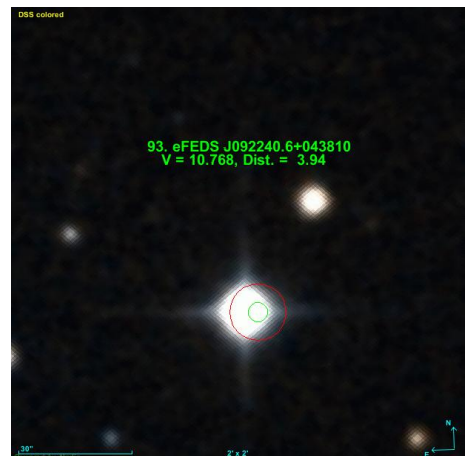
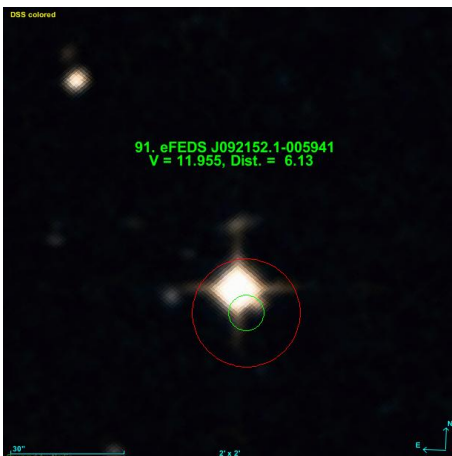
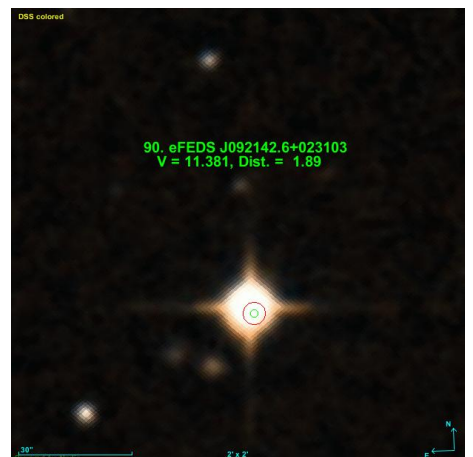
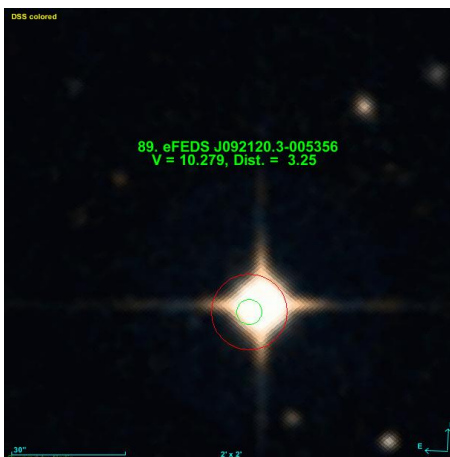
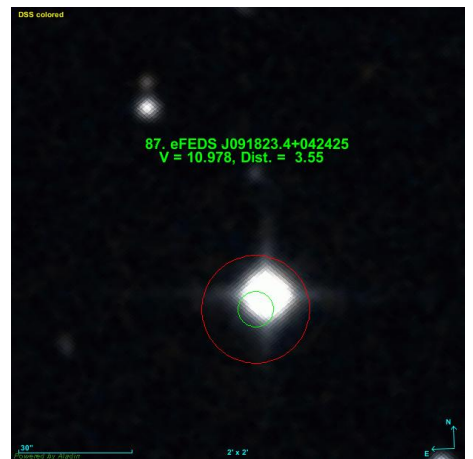


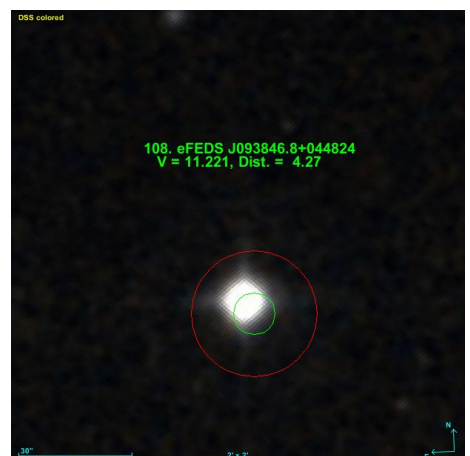
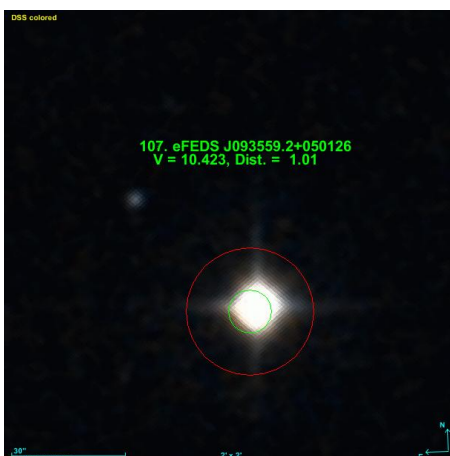
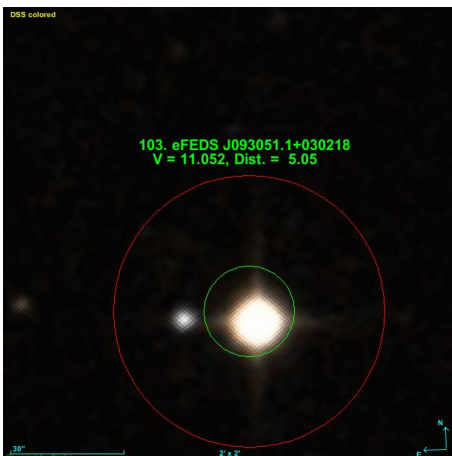
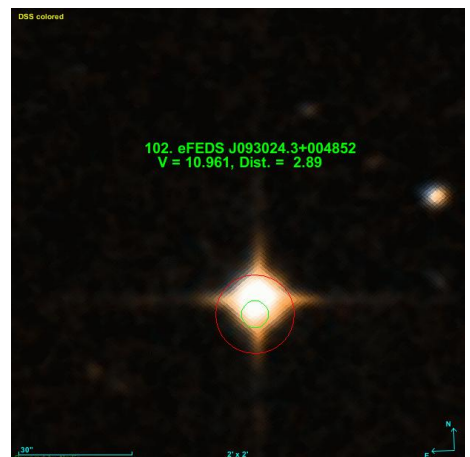
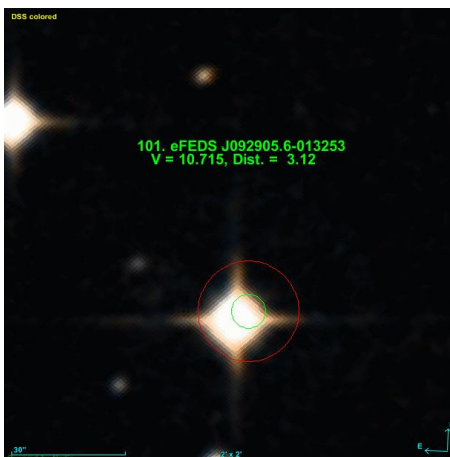
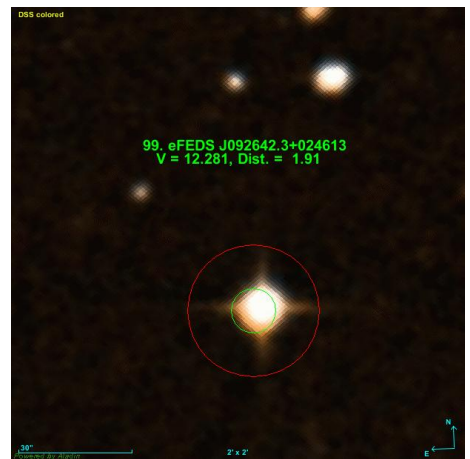
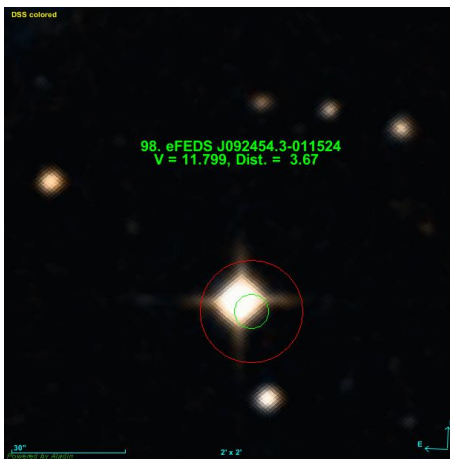














Comments:

- № 5. Two stars in the field: TYC 210-1860-1 and BD+00 2334 ($V=9.45$, $Sp=K0$).
- № 6. Faint star near: Gaia DR2 3080242208438978688 ($G_mag=18.058$).
- № 18. Two faint star near: Gaia DR1: Source ID 3072407707052266752 (top right, $G_mag=16.220$) and Source ID 3072407707054922112 (below a bright star, $G_mag=19.879$).
- № 24. Faint star near. Below the bright star on the right (Gaia DR1: Source ID 3075322168782736384, $G_mag=16.838$).
- № 28. $I-m^*$ - low mass star (low-mass*) and №№: 31, 42, 52, 59, 60, 94.
- № 31. Two faint objects in error box: low mass star (SDSS J084817.52+045645.0, $G_mag=19.211$) and Seyfert 1 Galaxy (SDSS J084818.23+045643.1, $G_mag=20.306$) - probable identification.
- № 36. Peculiar star near (UCAC4 440-047757, $G_mag=13.839$).
- № 40. Object below the bright star (Gaia DR1: Source ID 3075652606386315520, $G_mag=18.090$).
- № 44. Two bright stars in error box: TYC213-1211-1 and Gaia DR2 source ID 576837717289109248 ($G_mag=10.593$, $Teff=5666.60$, $Rsol=1.18$, $Lsol=1.297$).
- № 52. Close pair of stars: SDSS J090209.49+040742.8 and Gaia DR2 source ID 578617478723879424 ($V_mag=17.853$, $Sp=4.5V$, $Teff=4305.50$).
- № 63. The faint galaxy near (SDSS J090807.97-004613.9, $V_mag=19.039$). Below the bright star on the right (distance ~ 5 arcsec).
- № 86. Two stars in the field: TYC 4880-182-1 and Gaia DR2 source ID 3842362856369154048 ($G_mag=12.866$, $Teff=4789.52$, $Rsol=0.70$, $Lsol=0.233$).
- № 90. RoV^* - rotation variable ($RotV^*$).
- № 91. Faint star near. Below the bright star on the right (Gaia DR2: Source ID 3839195777550937984, $G_mag=18.560$).